



AB 1294



LABORATORIUM ANTEO Sp. z o.o.

ul. Chryzantem 23
41-700 Ruda Śląska
e-mail: laboratorium@anteo.pl

**SPRAWOZDANIE Z BADAŃ PÓL
ELEKTROMAGNETYCZNYCH W OTOCZENIU STACJI
BAZOWEJ TELEFONII KOMÓRKOWEJ SIECI P4
DLA POTRZEB OCHRONY LUDZI I ŚRODOWISKA**

Nr stacji	Miejsce wykonania pomiarów:	Data wykonania pomiarów:	Data wydania sprawozdania:
KOB3801A	36-100 Kolbuszowa, dz. nr 1525/3	2024-12-17	2024-12-23
Zleceniodawca:	P4 Sp. z o.o. ul. Wynalazek 1, 02-677 Warszawa		
Nr ewidencyjny sprawozdania:	SP_2024-12-002-6-S_KOB3801A		
Sprawozdanie wykonała:	Sprawdził:	Autoryzował/Data:	
Ewelina Bielica Specjalista ds. dokumentacji	Daniel Kukielka Kierownik laboratorium	Daniel Kukielka Kierownik laboratorium	

1. Wstęp

Badania wykonano na podstawie umowy z dnia 2018-08-31 pomiędzy firmą **Laboratorium Anteo sp. z o.o., ul. Chryzantem 23/1, 41-700 Ruda Śląska**, a firmą **P4 Sp. z o.o., ul. Wynalazek 1, 02-677 Warszawa**, przekazanej do realizacji laboratorium Anteo.

Sprawozdanie przedstawia wyniki sprawdzenia dotrzymania dopuszczalnych poziomów pól elektromagnetycznych w środowisku w otoczeniu instalacji - stacji bazowej **KOB3801A** będącej obiektem radiokomunikacyjnym P4 Sp. z o.o., w miejscach dostępnych dla ludności w otoczeniu ww. instalacji.

Wyniki pomiarów odnoszą się wyłącznie do istniejącej konfiguracji instalacji antenowej. Każda zmiana konfiguracji o ile zmiana ta może mieć wpływ na zmiany poziomów pól elektromagnetycznych wiąże się z koniecznością wykonania nowego badania

Laboratorium badawcze akredytowane przez PCA, Nr AB1294. Data ważności akredytacji: do 2027-10-27. Zakres wykonywanych przez laboratorium badań podany jest pod adresem www.pca.gov.pl.

Akredytacja Laboratorium w odniesieniu do normy ISO\IEC 17025:2018-02 oznacza spełnienie wymagań dotyczących kompetencji technicznych i systemu zarządzania, koniecznych dla zapewnienia wiarygodnych technicznie wyników badań.

2. Metoda badań

- Załącznik do rozporządzenia Ministra Klimatu z dnia 17 lutego 2020 r. *Sposoby sprawdzania dotrzymywania dopuszczalnych poziomów pól elektromagnetycznych w środowisku (Dz. U. 2022, poz. 2630)*.

3. Akty prawne

- Obwieszczenie Ministra Klimatu i Środowiska z dnia 21 listopada 2022 r. w sprawie ogłoszenia jednolitego tekstu rozporządzenia Ministra Klimatu w sprawie sposobów sprawdzania dotrzymywania dopuszczalnych poziomów pól elektromagnetycznych w środowisku (Dz. U. 2022, poz. 2630).
- Rozporządzenie Ministra Zdrowia z dnia 17 grudnia 2019 r. w sprawie dopuszczalnych poziomów pól elektromagnetycznych w środowisku (Dz. U. 2019, poz. 2448).

4. Odstępstwa/ograniczenia i uwarunkowania metody badawczej

Brak odstępstw/ograniczeń metody badawczej.

5. Lokalizacja obiektu badań

Badany obiekt znajduje się w miejscowości 36-100 Kolbuszowa, dz. nr 1525/3.
Współrzędne geograficzne obiektu: 21°47'00.07"E, 50°14'43.49"N.

6. Opis badania

Badany obiekt jest obiektem radiokomunikacyjnym sieci komórkowej (radiowa stacja bazowa telefonii mobilnej w sieci o przeznaczeniu publicznym). Anteny zainstalowano na wieży stalowej. Na obiekcie zainstalowano urządzenia pracujące w pasmach częstotliwości 3500MHz, 2600MHz, 2100MHz, 1800MHz, 900MHz, 800MHz oraz radiolinii 80/23GHz. Pomiarów pól elektromagnetycznych zostały wykonane w szczególności w tych miejscach, w których na podstawie przeprowadzonych obliczeń, stwierdzono występowanie w danych zakresach częstotliwości pól elektromagnetycznych o poziomach zbliżonych do dopuszczalnych. Na kierunku zbliżonym do azymutu anten pomiarów wykonano do obliczonej odległości występowania pól elektromagnetycznych o najwyższym poziomie w miejscach dostępnych dla ludności, pochodzących z badanej instalacji. Pomiarów wykonano w odległości nie mniejszej niż 0,3 m od urządzeń, obiektów i elementów metalowych.

Wszelkie dane dotyczące źródeł promieniowania (min. wysokość anten, częstotliwość pracy) oraz współrzędne geograficzne obiektu pochodzą od zlecniodawcy.

Badanie zostało przeprowadzone w godz. od 09:40 do 11:10 przez:

Marcin Bieda – Specjalista ds. pomiarów PEM

7. Warunki atmosferyczne

Temperatura powietrza		Przed: 7,1° C	Po: 7,1° C
Wilgotność powietrza		Przed: 74,8%	Po: 74,6%

Brak opadów atmosferycznych w czasie przeprowadzania badania.

Pomiary zostały wykonane przy temperaturze i wilgotności względnej nie wyższej niż dopuszczalna specyfikacja miernika.

8. Parametry techniczne obiektu badań

Parametry techniczne przekazane przez zlecniodawcę.

Tabela nr 1 – Parametry systemu nadawczo – odbiorczego pracującego w paśmie 3500MHz, 2600MHz, 2100MHz, 1800MHz, 900MHz, 800MHz

Tabela nr 2 – Parametry linii radioliniowej

Parametry systemu nadawczo odbiorczego pracującego w paśmie – 3500MHz, 2600MHz, 2100MHz, 1800MHz, 900MHz, 800MHz – tabela 1

Charakterystyka promieniowania					kierunkowa				
Rzeczywisty czas pracy [h/dobę]					Całodobowa 24h				
Warunki pracy					Znamionowe				
Rodzaj wytwarzanego pola					stacjonarne				
Lp.	Typ nadajnika	Antena Producent / Typ	Azymut [°]	Wysokość środka elektr. anteny [m n.p.t.]	Pasmo [Mhz]	Kąt nachylenia [°]	EIRP dla anteny [W]	LON	LAT
1	RBS6xxx/2xxx/4xxx	Huawei ASI4517R3	50	36,5	800	0 - 10	18502	21°47'00.07"E	50°14'43.49"N
	RBS6xxx/2xxx/4xxx				900	0 - 10		21°47'00.07"E	50°14'43.49"N
	RBS6xxx/2xxx/4xxx				1800	2 - 12		21°47'00.07"E	50°14'43.49"N
	RBS6xxx/2xxx/4xxx				2100	2 - 12		21°47'00.07"E	50°14'43.49"N
	RBS6xxx/2xxx/4xxx				2600	2 - 12		21°47'00.07"E	50°14'43.49"N
2	RBS6xxx/2xxx/4xxx	Ericsson AIR 3278	50	37,5	3500	4 - 9	10192	21°47'00.07"E	50°14'43.49"N
3	RBS6xxx/2xxx/4xxx	Huawei ASI4517R3	160	36,5	800	0 - 10	18502	21°47'00.07"E	50°14'43.49"N
	RBS6xxx/2xxx/4xxx				900	0 - 10		21°47'00.07"E	50°14'43.49"N
	RBS6xxx/2xxx/4xxx				1800	2 - 12		21°47'00.07"E	50°14'43.49"N
	RBS6xxx/2xxx/4xxx				2100	2 - 12		21°47'00.07"E	50°14'43.49"N
	RBS6xxx/2xxx/4xxx				2600	2 - 12		21°47'00.07"E	50°14'43.49"N
4	RBS6xxx/2xxx/4xxx	Ericsson AIR 3278	160	37,5	3500	4 - 9	5865	21°47'00.07"E	50°14'43.49"N
5	RBS6xxx/2xxx/4xxx	Huawei ASI4517R3	240	36,5	800	0 - 10	18502	21°47'00.07"E	50°14'43.49"N
	RBS6xxx/2xxx/4xxx				900	0 - 10		21°47'00.07"E	50°14'43.49"N
	RBS6xxx/2xxx/4xxx				1800	2 - 12		21°47'00.07"E	50°14'43.49"N
	RBS6xxx/2xxx/4xxx				2100	2 - 12		21°47'00.07"E	50°14'43.49"N
	RBS6xxx/2xxx/4xxx				2600	2 - 12		21°47'00.07"E	50°14'43.49"N
6	RBS6xxx/2xxx/4xxx	Ericsson AIR 3278	240	37,5	3500	4 - 9	10192	21°47'00.07"E	50°14'43.49"N
7	RBS6xxx/2xxx/4xxx	Huawei ASI4517R3	320	36,5	800	0 - 10	18502	21°47'00.07"E	50°14'43.49"N
	RBS6xxx/2xxx/4xxx				900	0 - 10		21°47'00.07"E	50°14'43.49"N
	RBS6xxx/2xxx/4xxx				1800	2 - 12		21°47'00.07"E	50°14'43.49"N
	RBS6xxx/2xxx/4xxx				2100	2 - 12		21°47'00.07"E	50°14'43.49"N
	RBS6xxx/2xxx/4xxx				2600	2 - 12		21°47'00.07"E	50°14'43.49"N

8	RBS6xxx/2xxx/4xxx	Ericsson AIR 3278	320	37,5	3500	4 - 9	10192	21°47'00.07"E	50°14'43.49"N
---	-------------------	-------------------	-----	------	------	-------	-------	---------------	---------------

Parametry systemu nadawczo – odbiorczego linii radioliniowej – Tabela nr 2

Charakterystyka promieniowania				kierunkowa					
Rzeczywisty czas pracy [h/dobę]				24					
Rodzaj wytwarzanego pola				stacjonarne					
Linia radiowa				Antena					
L p.	Typ nadajnika	Częstotliwość pracy [GHz]	Moc wyjściowa [dBm]	Typ/producent	Średnica anteny [m]	Azymut [°]	Wysokość zainstal. [m]	LON	LAT
1	OPTIX RTN/HUAW EI	80/23	18/25	0.6-80/23(A23S8 0S06)	0,6	144	36,5	21°47'00.07"E	50°14'43.49"N
2	OPTIX RTN/HUAW EI	80/23	18/25	0.6-80/23(A23S8 0S06)	0,6	207	36,5	21°47'00.07"E	50°14'43.49"N
3	OPTIX RTN/HUAW EI	80/23	18/25	0.6-80/23(A23S8 0S06)	0,6	324	36,5	21°47'00.07"E	50°14'43.49"N

9. Sposób identyfikacji pola elektromagnetycznego

Niezbędnych informacji na temat źródeł pól udzielił Specjalista ds. Administracji Projektu P4 Sp. z o.o., który nie brał udziału w badaniach. Identyfikację źródeł i parametrów technicznych wykonano na podstawie analizy przekazanej ze zleceniem dokumentacji oraz obserwacji w miejscu wykonywania badań.

Z informacji zleciodawcy wynika, że podczas badania anteny użytkownika o sterowanych wiązkach zostały ustawione w sposób opisany zgodnie z punktem 13 ppkt.2 załącznika do rozporządzenia Ministra Klimatu z dnia 17 lutego 2020 r. (Dz. U. 2022 poz. 2630).

10. Opis terenu

Stacja bazowa telefonii komórkowej sieci P4 Sp. z o.o. **KOB3801A** zlokalizowana jest na wieży stalowej w miejscowości 36-100 Kolbuszowa, dz. nr 1525/3. Anteny sektorowe są zainstalowane na wysokości 36,5 m i 37,5m n. p. t. Urządzenia nadawczo – odbiorcze znajdują się w szafach, które umieszczone są na gruncie. Bezpośrednim sąsiedztwem stacji są tereny przemysłowe, pola uprawne oraz zabudowa mieszkaniowa.

W badanym środowisku zidentyfikowano urządzenia innych operatorów mogące mieć wpływ na wyniki mierzonego pola EM. Pomiarzy zostały przeprowadzone jako szerokopasmowe w danym zakresie częstotliwości, w związku z tym uwzględniają grupy instalacji/urządzeń emitujących pola EM o poziomach najwyższych w danym zakresie częstotliwości.

11. Sprzęt pomiarowy

Tabela nr 3 – Sprzęt pomiarowy

Lp.	Nazwa i typ urządzenia	Numer identyfikacyjny
1.	Zestaw pomiarowy NARDA NBM-520 wraz z sondą EF9091*	2403/01B D-2211 2402/18B A-0148
2.	Zestaw pomiarowy NARDA NBM-520 wraz z sondą EF0691*	2403/01B D-2211 2402/14B H-1142
3.	Termohigrometr UNI-T UT333	C221221326
4.	Dalmierz laserowy GLM 250 VF	209147077

*Zestaw pomiarowy przed wykonaniem pomiarów został sprawdzony za pomocą uniwersalnego testera sond UTEST-7

Tabela nr 4 – Szerokopasmowe mierniki pola elektromagnetycznego

Lp.	Nazwa i typ urządzenia	Zakres pomiarowy	Numer świadectwa wzorcowania	Data następnego wzorcowania
1.	Miernik Narda NBM-520	Zależny od sondy	LWiPM/W/404/23**	2025-11-08
2.	Sonda Narda EF9091	0,56 – 320V/m 80MHz – 90GHz	LWiPM/W/404/23**	2025-11-08
3.	Sonda Narda EF0691	0,58 – 540V/m 0,1MHz – 6GHz	LWiPM/W/404/23**	2025-11-08

**LWiPM – Laboratorium Wzorców i Metrologii Pola Elektromagnetycznego, Instytut Telekomunikacji, Teleinformatyki i Akustyki, Politechnika Wroclawska

Tabela nr 5 – Sprzęt uzupełniający

Lp.	Nazwa i typ urządzenia	Zakres pomiarowy	Numer świadectwa wzorcowania	Data następnego sprawdzenia
1.	Termohigrometr UNI-T UT333	-20 ÷ +60°C 0 – 100%RH	466-1223/23***	2025-01-15
2.	Dalmierz laserowy Bosch GLM 250 VF	0,05 – 250m	215.1-M11-4180-116/13****	2024-12-20
3.	Urządzenie GPS GPSMAP 62ST	-	-	2025-03-07

***Laboratorium Pomiarowe INTROL

****Zakład Długości Kąta GUM

12. Wyniki badań

Tabela nr 6 – Wartości natężenia pola elektrycznego i magnetycznego

Nr pionu	Opis miejsca pomiaru	Zmierzona wartość natężenie pola ² E [V/m]	Natężenie pola ³ E [V/m]	Natężenie pola ⁴ H [A/m]	Wysokość Pomiaru ⁵ [m]	Współrzędne geograficzne pionu	Wartości WME ⁶	Wartości WMH ⁶
1	¹ DPP, w płaszczyźnie otworu okiennego, serwis samochodowy	2,2	2,7	0,007	1,85	-	0,10	0,10
2	¹ DPP/ GKP 320°, w płaszczyźnie otworu okiennego, serwis samochodowy	2,3	2,8	0,008	1,95	-	0,10	0,10
3	DPP, w płaszczyźnie otworu okiennego, serwis samochodowy	2,5	3,1	0,008	1,90	-	0,11	0,11
4	¹ PKP 360°, przy budynku handlowym	1,5	1,9	0,005	1,75	50.24597 21.78328	0,07	0,07
5	PKP 350°, parking	1,5	1,9	0,005	1,90	50.24595 21.78310	0,07	0,07
6	GKP 320°, parking	1,7	2,1	0,006	1,80	50.24588 21.78282	0,08	0,08
7	PKP 300°, parking	1,8	2,2	0,006	1,85	50.24582 21.78258	0,08	0,08
8	PKP 290°, teren zieleni	1,6	2,0	0,005	1,90	50.24563 21.78239	0,07	0,07
9	DPP/ GKP 320°, w płaszczyźnie otworu okiennego, budynek handlowy, II piętro, ul. 11 Listopada 10	2,4	3,0	0,008	1,70	-	0,11	0,11
10	GKP 320°, przy budynku, ul. 11 Listopada 13	2,1	2,6	0,007	2,00	50.24654 21.78191	0,09	0,09
11	GKP 320°, teren zieleni, ul. Ruczki 6-8	*0,7	0,9	0,002	0,3-2,00	50.24713 21.78122	0,03	0,03
12	GKP 240°, przy płocie, ul. Kolejowa 13	1,5	1,9	0,005	1,90	50.24520 21.78263	0,07	0,07
13	PKP 270°, teren zieleni	1,7	2,1	0,006	1,80	50.24528 21.78255	0,08	0,08
14	PKP 280°, teren zieleni	1,5	1,9	0,005	1,95	50.24546 21.78241	0,07	0,07
15	PKP 220°, przy płocie, ul. Kolejowa	1,5	1,9	0,005	1,85	50.24501 21.78281	0,07	0,07

16	PKP 211°, przy płocie, ul. Kolejowa	1,8	2,2	0,006	1,90	50.24490 21.78291	0,08	0,08
17	DPP, w płaszczyźnie otworu okiennego, ul. Kolejowa 13	1,8	2,2	0,006	1,75	-	0,08	0,08
18	DPP/ GKP 240°, w płaszczyźnie otworu okiennego, ul. Kolejowa 13	1,6	2,0	0,005	1,80	-	0,07	0,07
19	GKP 240°, teren zieleni – nieużytki	1,7	2,1	0,006	1,90	50.24458 21.78139	0,08	0,08
20	GKP 240°, teren zieleni – nieużytki	1,9	2,4	0,006	1,75	50.24431 21.78041	0,08	0,09
21	PKP 207°, teren przemysłowy	1,2	1,5	0,004	1,80	50.24508 21.78325	0,05	0,05
22	PKP 144°, teren przemysłowy	1,5	1,9	0,005	1,90	50.24512 21.78377	0,07	0,07
23	PKP 140°, teren przemysłowy	1,8	2,2	0,006	2,00	50.24512 21.78400	0,08	0,08
24	GKP 160°, teren przemysłowy	1,5	1,9	0,005	1,95	50.24497 21.78371	0,07	0,07
25	PKP 170°, teren przemysłowy	1,7	2,1	0,006	1,80	50.24494 21.78351	0,08	0,08
26	PKP 184°, teren przemysłowy	1,5	1,9	0,005	1,75	50.24486 21.78332	0,07	0,07
27	GKP 160°, plac zabaw, ul. Kolejowa 12	1,2	1,5	0,004	1,80	50.24429 21.78412	0,05	0,05
28	PKP 114°, parking przy dworcu PKP	1,5	1,9	0,005	2,00	50.24530 21.78443	0,07	0,07
29	PKP 90°, parking przy dworcu PKP	1,7	2,1	0,006	1,90	50.24554 21.78420	0,08	0,08
30	GKP 50°, parking przy dworcu PKP	1,7	2,1	0,006	1,85	50.24578 21.78396	0,08	0,08
31	PKP 33°, teren zieleni	1,9	2,4	0,006	1,90	50.24600 21.78375	0,08	0,09
32	PKP 17°, parking dworzec PKP	1,5	1,9	0,005	1,90	50.24615 21.78373	0,07	0,07
33	GKP 50°, peron dworzec PKP	2,2	2,7	0,007	1,97	50.24602 21.78456	0,10	0,10
34	GKP 50°, przy garażach	1,9	2,4	0,006	1,70	50.24626 21.78497	0,08	0,09
35	GKP 50°, droga, ul. Raczki 3	1,5	1,9	0,005	2,00	50.24641 21.78516	0,07	0,07

* wynik spoza zakresu akredytacji - przy wskazaniach sondy poniżej dolnego zakresu akredytacji dla punktu pomiarowego, przyjęto do obliczeń wyniku skorygowanego wartość skorelowaną z rzeczywistym wynikiem pomiaru tj. dolną granicę akredytowanego zakresu pomiarowego metody 0,7 V/m.

1 - GKP – Główny Kierunek Pomiarowy, PKP- Pomocniczy kierunek pomiarowy, DPP – Dodatkowy pion pomiarowy

2 – wynik pomiaru, z uwzględnieniem współczynników Cf (charakterystyka częstotliwościowa) i Cd (charakterystyka dynamiczna).

3 - wynik pomiaru natężenia skutecznego pola elektromagnetycznego powiększony o niepewności pomiaru. Wartość chwilowa, zgodnie z pkt. 11 załącznika do rozporządzenia Ministra Klimatu z dnia 17 lutego 2020 r. (Dz. U. 2022 poz. 2630).

4 - wartość wyznaczona na podstawie pomiaru wartości skutecznej natężenia pola elektrycznego, z uwzględnieniem niepewności pomiaru, dla pomiarów wykonanych od źródła pól elektromagnetycznych, z zależności opisanej w pkt.3 załącznika do rozporządzenia Ministra Klimatu z dnia 17 lutego 2020 r. (Dz. U. 2022 poz.2630).

5- wysokość liczona jest od poziomu podłoża, gruntu

6 - wartości wskaźnikowe zgodnie z pkt.25 ppkt.1 załącznika do rozporządzenia Ministra Klimatu z dnia 17 lutego 2020 r. (Dz. U. 2022 poz.2630):

$$WM_E = \frac{E}{\min(ME_{gr})}$$

$$WM_H = \frac{H}{\min(MH_{gr})}$$

gdzie:

WME (WMH) – oznacza wartość wskaźnikową poziomu emisji pól elektromagnetycznych dla miejsc dostępnych dla ludności dla składowej elektrycznej (magnetycznej) pola,

E (H) – oznacza zmierzoną wartość skuteczną natężenia pola elektrycznego E, wyrażoną w V/m, (natężenia pola magnetycznego H, wyrażonego w A/m), uśrednioną w sposób określony w przepisach wydanych na podstawie art. 122 ust. 1 ustawy z dnia 27 kwietnia 2001 r. – Prawo ochrony środowiska lub zgodnie z pkt. 11 załącznika do rozporządzenia Ministra Klimatu z dnia 17 lutego 2020 r. (Dz. U. 2022 poz. 2630).

min(ME_{gr}), (min MH_{gr}) – oznacza najniższą dopuszczalną wartość składowej elektrycznej (magnetycznej) pola dla objętego pomiarami zakresu częstotliwości dla miejsc dostępnych dla ludności określoną w przepisach wydanych na podstawie art. 122 ust. 1 ustawy z dnia 27 kwietnia 2001 r. – Prawo ochrony środowiska wyrażoną w V/m rozporządzeniem Min. Zdrowia z 17 grudnia 2019 roku Dz.U 2019 poz.2448.

Oszacowana niepewność rozszerzona przeprowadzonych pomiarów natężenia pola elektromagnetycznego nie przekracza 23,8 % (niepewność rozszerzona przy prawdopodobieństwie rozszerzenia ok.95% i współczynnika k=2).

Badanie wykonywano metodą dwóch sond szerokopasmowych opisaną w dokumencie Z7.4.5 Ocena możliwości realizacji metody badawczej wydanie z 2024-06-12 W każdym z pionów pomiarowych sprawdzono i wykluczono udział promieniowania radiolinii w badanym widmie, korzystając z w/w metody.

W czasie badania wykonano pomiar kontrolny. Zmienność poziomu pola elektromagnetycznego w pkt. 10 referencyjnych została uwzględniona w niepewności pomiarów.

Punkt referencyjny	Pomiar 1		Pomiar 2		Zmienność poziomu pola-EM
		2,5 V/m	- A/m	2,5 V/m	-A/m

13. Podsumowanie

Dopuszczalny poziom promieniowania, dla poszczególnych zakresów częstotliwości, charakteryzują parametry fizyczne określone w załączniku do Rozporządzenia Ministra Zdrowia z dnia 17 grudnia 2019 r. w sprawie dopuszczalnych poziomów pól elektromagnetycznych w środowisku (Dz. U. 2019, poz. 2448) – tabela nr 7.

Tabela nr 7 – Dopuszczalne poziomy pól elektromagnetycznych dla miejsc dostępnych dla ludności.

Zakres częstotliwości pola elektromagnetycznego	Składowa elektryczna E (V/m)	Składowa magnetyczna H (A/m)	Gęstość mocy S (W/m ²)
0 Hz	10000	2500	ND
Od 0 Hz do 0,5 Hz	ND	2500	ND
Od 0,5 Hz do 50 Hz	10000	60	ND
Od 0,05 Hz do 1 kHz	ND	3 / f	ND
Od 1 kHz do 3 kHz	250 / f	5	ND
Od 3 kHz do 150 kHz	87	5	ND
Od 0,15 MHz do 1 MHz	87	0,73 / f	ND
Od 1 MHz do 10 MHz	87 / f ^{0,5}	0,73 / f	ND
Od 10 MHz do 400 MHz	28	0,073	2
Od 400 MHz do 2000 MHz	1,375 x f ^{0,5}	0,0037 x f ^{0,5}	f / 200
Od 2 GHz do 300 GHz	61	0,16	10

Podczas badania przyjęto, jako wartości dopuszczalną poziomą pola elektromagnetycznego w środowisku wartość 2 W/m² (28 V/m), tj. wartość dopuszczalną dla dolnego zakresu pasma 400MHz - 2000MHz.

Pomiary wykonano dla średniego kąta pochylenia wiązki. Przeprowadzone badania w środowisku, w obszarze pomiarowym, w otoczeniu badanej stacji bazowej, w zmierzonych pionach pomiarowych, nie wykazały przekroczenia 60% wartości dopuszczalnych poziomów pól elektromagnetycznych. W związku z tym nie wymagane są dodatkowe pomiary dla największego i najmniejszego stosowanego lub planowanego kąta pochylenia wiązki, zgodnie z pkt 13. ppkt. 2 załącznika do rozporządzenia Ministra Klimatu z dnia 17 lutego 2020 r. (Dz. U. 2022 poz. 2630). Zgodnie z pkt 25 rozporządzenia Ministra Klimatu z dnia 17 lutego 2020 r. (Dz. U. 2022 poz. 2630), nie jest wymagane wykonanie pomiaru miernikiem selektywnym.

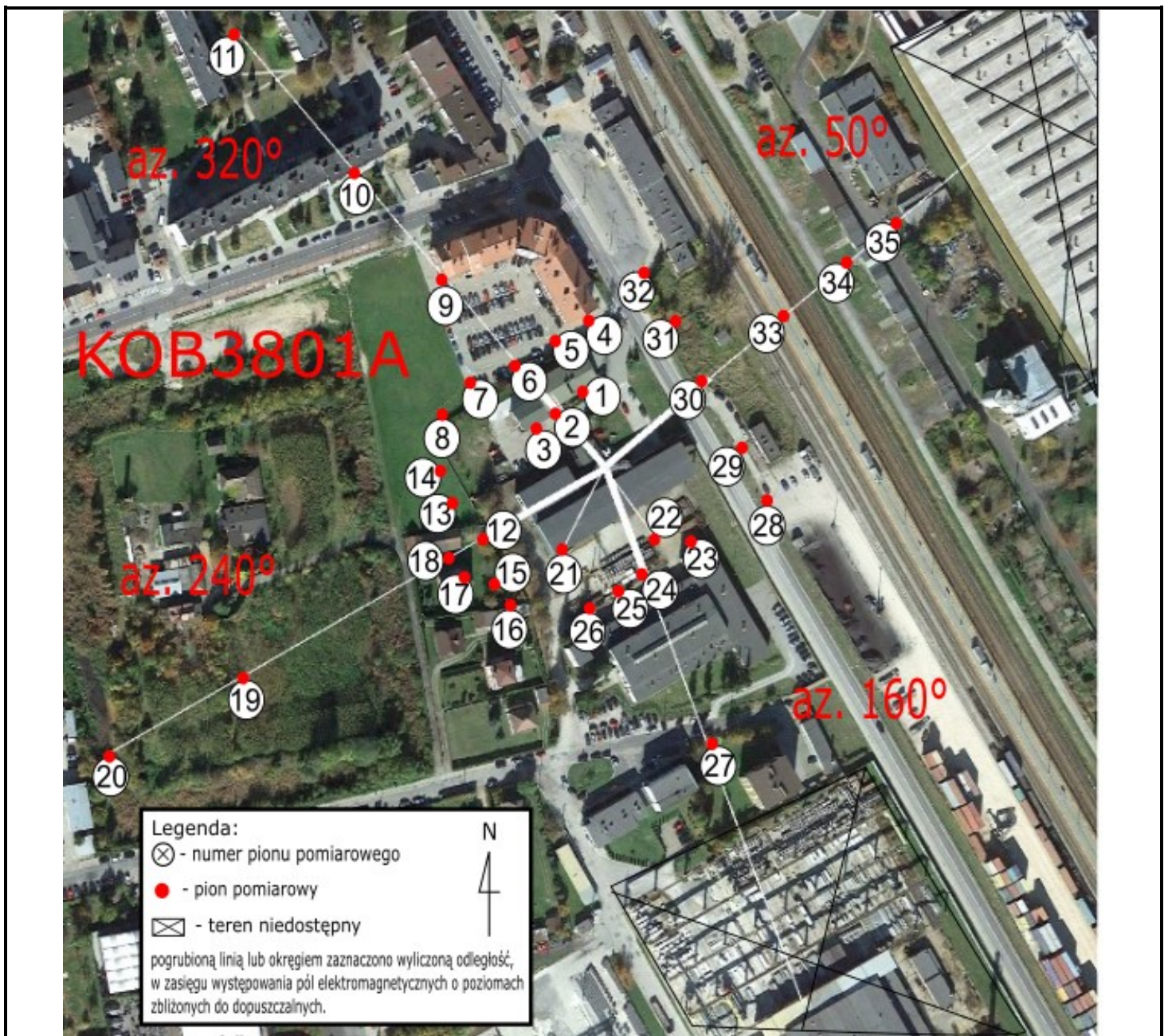
Stwierdzenie zgodności:

Na podstawie wytycznych wskazanych w obwieszczeniu Ministra Klimatu i Środowiska z dnia 21 listopada 2022 r. w sprawie ogłoszenia jednolitego tekstu rozporządzenia Ministra Klimatu w sprawie sposobów sprawdzania dotrzymywania dopuszczalnych poziomów pól elektromagnetycznych w środowisku (Dz. U. 2022, poz. 2630) oraz na podstawie otrzymanych wyników pomiarów i informacji uzyskanych od klienta, stwierdzono iż w miejscach dostępnych dla ludności do których uzyskano dostęp, w żadnym punkcie/pionie pomiarowym, w środowisku wokół stacji bazowej **KOB3801A** nie występują przekroczenia dopuszczalnych poziomów pól elektromagnetycznych, określonych w tabeli nr 7, w badanym zakresie pomiarowym od 400MHz do 90 GHz.

Dopuszczalne poziomy pól elektromagnetycznych w środowisku określone w przepisach wydanych na podstawie art.122 ust. 1 ustawy z dnia 27 kwietnia 2001 r. – Prawo ochrony środowiska uznaje się za dotrzymane w badanym obszarze pomiarowym, w zmierzonych pionach pomiarowych, gdyż w wyniku zastosowania sprawdzenia dotrzymywania dopuszczalnych poziomów pól elektromagnetycznych w środowisku, o którym mowa w pkt. 25 ppkt.1 i pkt. 26 (załącznika do rozporządzenia Ministra Klimatu z dnia 17 lutego 2020 r. Dz. U. 2022 poz. 2630), żadna z wartości wskaźnikowych nie przekracza 1.

14. Załączniki

Załącznik nr 1 – Rysunek poglądowy terenu, rozmieszczenie pionów pomiarowych na terenie wokół stacji



Koniec sprawozdania